

อิทธิพลของอุณหภูมิไอโซเทอร์มอลขอบเขตด้านล่างที่มีผลต่อการสร้างสมการ  
การหาค่าฟังก์ชันเอ็กซ์โพเนนเชียล-อินทิกรัลในรูปแบบของสมการโพลิโนเมียลอันดับสอง  
Effect of Isothermal Temperature of Lower Boundary for Producing the  
Exponential Integral Function In Form of the Second Order Polynomial Equation

จัตพล ป้องกัน<sup>1</sup>, พิพัฒน์ อมตฉายา<sup>1</sup>, ณรงค์ศักดิ์ โยธา<sup>2</sup>, พรสวรรค์ ทองใบ<sup>1</sup> และ บัณฑิต กฤตาคม<sup>1\*</sup>

<sup>1</sup> ห้องปฏิบัติการวิจัยการพัฒนาในเทคโนโลยีของวัสดุพูน

(Development in Technology of Porous Materials Research Laboratory: DiTo-Lab)

สาขาวิชาวิศวกรรมเครื่องกล คณะวิศวกรรมศาสตร์และสถาปัตยกรรมศาสตร์ มหาวิทยาลัยเทคโนโลยีราชมงคลอีสาน

<sup>2</sup> สาขาวิชาคณิตศาสตร์และสถิติประยุกต์ คณะวิทยาศาสตร์และศิลปศาสตร์ มหาวิทยาลัยเทคโนโลยีราชมงคลอีสาน

744 ถนนสุรนารายณ์ ตำบลในเมือง อำเภอเมือง จังหวัดนครราชสีมา 30000

\*ติดต่อ: E-mail: jattupon\_mp2r@hotmail.com และ bundit.kr@muti.ac.th, โทรศัพท์ 044 233 073, โทรสาร 044 233 074

### บทคัดย่อ

บทความวิจัยนี้มีวัตถุประสงค์เพื่อศึกษาอิทธิพลของอุณหภูมิไอโซเทอร์มอลขอบเขตด้านล่าง (Isothermal temperature of lower boundary,  $T_L$ ) ที่มีผลต่อการสร้างสมการการหาค่าฟังก์ชันเอ็กซ์โพเนนเชียล-อินทิกรัล (Exponential integral function,  $E_n$ ) ในรูปแบบของสมการโพลิโนเมียลอันดับสอง (The second order polynomial equation) การศึกษาจะทำการคำนวณในวัสดุพูนที่มีระบบพิกัดแบบระนาบขนาน 1 มิติ (One-dimensional plan parallel) ความหนาทางกายภาพ ( $L$ ) เท่ากับ 5 เซนติเมตร แต่ค่าความหนาเชิงแสง ( $\tau$ ) อยู่ในช่วง 0 - 1.5 และขอบเขตการคำนวณเป็นแบบวัตถุดำ (Black body) โดยขอบเขตด้านบนเป็นอุณหภูมิไอโซเทอร์มอล ( $T_U$ ) ที่มีค่าเท่ากับ 300 K และด้านล่างเป็นอุณหภูมิไอโซเทอร์มอล ( $T_L$ ) ที่มีค่าตั้งแต่ 500 K ถึง 2,000 K จากการศึกษาสมการที่สร้างขึ้นตามการเปลี่ยนแปลงของค่า  $T_L$  มีทั้งหมด 16 สมการ ซึ่งพบว่าค่า  $E_n$  ที่คำนวณได้จากสมการทั้งหมดจะมีแนวโน้มไปในทิศทางเดียวกันและมีค่าแตกต่างกันน้อยมากหากเปรียบเทียบกับค่า  $E_n$  ที่คำนวณได้จากสมการแม่นยำ เนื่องจากค่าสัมประสิทธิ์การกำหนด ( $R^2$ ) อยู่ในช่วง 0.971-0.993 แต่อย่างไรก็ตามสมการโพลิโนเมียลอันดับสองที่ให้ค่า  $R^2$  สูงที่สุดจะพบในกรณี  $T_L = 500$  K กล่าวคือ  $E_2 = 0.918204 - 1.591471\tau + 0.749385\tau^2$  และ  $E_3 = 0.483645 - 0.678271\tau + 0.275252\tau^2$  สำหรับ  $E_2$  ( $R^2 = 0.971230$ ) และ  $E_3$  ( $R^2 = 0.993184$ ) ตามลำดับ เพื่อตรวจสอบความแม่นยำและการใช้งานได้จริง ค่าฟังก์ชันการแผ่รังสีความร้อนสุทธิ ( $q_n$ ) จึงถูกทำนาย พบว่าค่า  $q_n$  ที่คำนวณได้จะมีค่าใกล้เคียงกับผลเฉลยของสมการแม่นยำ

**คำหลัก:** สมการโพลิโนเมียลอันดับสอง, ฟังก์ชันเอ็กซ์โพเนนเชียล-อินทิกรัล, อุณหภูมิไอโซเทอร์มอล

### Abstract

This research aimed to study the effect of isothermal temperature of lower boundary for producing the exponential integral function ( $E_n$ ) in the form of the second order polynomial equation. In study, the porous media in one-dimensional plane parallel was conducted. Physical thickness of porous media ( $L$ ) was 5 cm and optical thickness ( $\tau$ ) was in the range 0 - 1.5. The porous media was bounded by black body boundary condition where the upper boundary was the isothermal temperatures ( $T_U$ ) of 300 K and the isothermal temperature of lower one ( $T_L$ ) was in the range of 500 - 2,000 K. From the study, 16 equations produced by varying the level of  $T_L$  were proposed in the present research. The solution of  $E_n$  estimated from all presented equations had similar trend and there was vary little difference in comparison with exact method because the coefficient of

determination ( $R^2$ ) was in the range of 0.971 to 0.993. However, the maximum value of  $R^2$  of the second order polynomial equation was found at  $T_L = 500$  K;  $E_2 = 0.918204 - 1.591471T + 0.749385T^2$  and  $E_3 = 0.483645 - 0.678271T + 0.275252T^2$  for  $E_2$  ( $R^2 = 0.971230$ ) and  $E_3$  ( $R^2 = 0.993184$ ) respectively. To validate the accuracy and practically estimation, the net radiative heat flux ( $q_n$ ) was predicted. Agreement between the present equation and exact function was satisfactory.

**Keywords:** The second order polynomial equation, Exponential integral function, Isothermal temperature

## 1. บทนำ

การแก้ปัญหามหาสมการการแผ่รังสีความร้อน (Radiative transfer equation, RTE) ที่มีความซับซ้อน โดยเฉพาะในกรณีสื่อตัวกลางมีส่วนร่วมกับการแผ่รังสีความร้อน (Participating media) เนื่องจาก RTE เป็นสมการแบบ integro-differential [1,2] กล่าวคือ สมการที่มีทั้งการอินทิเกรตและอนุพันธ์ภายในสมการเดียว โดยทั่วไปการหาผลเฉลยจะมีอยู่สองวิธีใหญ่ ๆ ได้แก่ วิธีแรกการหาผลเฉลยแบบแม่นยำ (Exact solution) จะใช้ระเบียบวิธีทางคณิตศาสตร์มาช่วยในการคำนวณ โดยเฉพาะการคำนวณด้วยวิธีผลเฉลยสมการมาตรฐานทั่วไป (Formal solution) ซึ่งวิธีนี้ก็ยังมีข้อเสียคือความยากในการใช้งานฟังก์ชันเอ็กซ์โพเนนเชียล-อินทิกรัล (Exponential integrals function,  $E_n$ ) ส่วนวิธีที่สองคือ การหาผลเฉลยแบบประมาณ Approximation solution) ซึ่งมีหลากหลายวิธี เช่น วิธีดิฟฟิวชัน (Diffusion) วิธีสเฟียริคอลลฮาร์โมนิกส์ (Spherical-harmonics) หรือที่รู้จักกันในชื่อของการประมาณแบบ  $P_N$  ( $P_N$  approximation) วิธีแบบดิสครีต-ออร์ดิเนต (Discrete ordinates) หรือเรียกอีกชื่อว่าวิธีการประมาณแบบ  $S_N$  และวิธีการประมาณแบบ Exponential Kernel เป็นต้น ปัจจุบันปัญหาการถ่ายเทความร้อนทางวิศวกรรมและวิทยาศาสตร์นิยมใช้วัสดุพรุน (Porous medium) เป็นตัวกลางที่มีส่วนร่วมกับกลไกการแผ่รังสีความร้อน [3, 4] เนื่องจากวัสดุพรุนมีคุณสมบัติที่โดดเด่น คือมีพื้นที่ผิวต่อปริมาตรสูงสัมประสิทธิ์การถ่ายเทความร้อนสูงและสัมประสิทธิ์การดูดกลืนรังสีความร้อน (Radiative absorption coefficient) สูง วัสดุพรุนอาจทำมาจากเซรามิกส์ (Ceramics) โลหะโครงข่ายเปิดทนครายความร้อนสูง (Open cellular metal) หรือตาข่ายสแตนเลส (Stainless wire net) หลายแผ่นวางซ้อนและอัดแน่นเข้าด้วยกัน จึงทำให้

วัสดุพรุนมีความสามารถในการเปลี่ยนพลังงานความร้อนระหว่างการพาและการแผ่รังสีความร้อนได้เป็นอย่างดี จากเหตุผลดังกล่าวส่งผลให้การศึกษาและหาผลเฉลยของสมการการแผ่รังสีความร้อนในวัสดุพรุนมีการพัฒนาโดยนักวิจัยหลายกลุ่ม

Viskanta และคณะ [5] ได้จัดรูปสมการมาตรฐานทั่วไป (Formal solution) ในการหาค่าฟังก์ชันการแผ่รังสีความร้อน (Radiative heat flux) ให้อยู่ในรูปอย่างง่ายคือเปลี่ยนเทอม Exponential integral function ให้เป็นฟังก์ชันของความเข้มการแผ่รังสี (Intensities radiation) ที่บริเวณผิวหรือขอบเขตวัสดุพรุน ผลการคำนวณที่ได้มีความน่าเชื่อถือ Yoshida และคณะ [6] ได้ใช้สมการมาตรฐานทั่วไป (Formal solution) ในการทำนายคุณลักษณะชั่วคราวของการนำความร้อน (Conductive heat transfer) การพาความร้อน (Convective heat transfer) และการแผ่รังสีความร้อน (Radiative heat transfer) ผลที่ได้มีความน่าเชื่อถือและสอดคล้องกันกับผลการทดลองเป็นอย่างดี Kamiuto และคณะ [7] ได้ใช้  $P_1$  approximation ในการแก้ปัญหการถ่ายเทความร้อนที่เกิดร่วมกันระหว่างการนำความร้อน (Conductive heat transfer) กับการแผ่รังสีความร้อน (Convective heat transfer) ผลเฉลยที่ได้สอดคล้องกับผลการทดลองเป็นที่น่าพอใจ Krittacom และ Kamiuto [8] ได้ทำการปรับปรุงวิธี  $P_1$  approximation ให้มีความแม่นยำยิ่งขึ้นเพื่อใช้ในการทำนายปัญหาการแผ่รังสีความร้อนเป็นหลัก วิธีที่ทำการปรับปรุงนี้ให้ผลเฉลยที่แม่นยำละเอียดเมื่อเปรียบเทียบกับผลเฉลยแม่นยำ

อย่างไรก็ตามงานส่วนใหญ่ที่กล่าวมาข้างต้นก็ยังเป็นการพัฒนาการหาผลเฉลยในวิธีโดยประมาณเป็นหลัก ซึ่งส่งผลให้มีความคลาดเคลื่อนเกิดขึ้นหรือหากพัฒนาในวิธีแม่นยำก็อาจเป็นการหาแนวทางปรับปรุงผลเฉลย

ทางอ้อมเท่านั้น และแต่ละวิธีล้วนมีความยุ่งยาก ซับซ้อน ต้องใช้คณิตศาสตร์ชั้นสูงในการคำนวณ ด้วยเหตุดังกล่าวงานวิจัยนี้จึงได้นำเสนอการคำนวณหาผลเฉลยอย่างง่ายแต่มีความแม่นยำ โดยการปรับเปลี่ยนฟังก์ชันเอ็กซ์โพเนนเชียล-อินทิกรัล (Exponential integral function,  $E_n$ ) อันดับ 2 ( $E_2$ ) และอันดับ 3 ( $E_3$ ) ให้อยู่ในรูปของสมการโพลิโนเมียลอันดับสอง (Thesecond-order plynomial equation) [9] จำนวน ทั้งหมด 16 สมการ ตามอิทธิพลของอุณหภูมิไอโซเทอร์มอลด้านล่าง  $T_L$  เพื่อเปรียบเทียบผลของค่า  $E_n$  และค่าฟลักซ์การแผ่รังสีความร้อนสุทธิ (Net Radiative heat flux,  $q_n$ ) ที่ได้จากฟังก์ชันเอ็กซ์โพเนนเชียล-อินทิกรัลกับสมการโพลิโนเมียลอันดับสอง พร้อมทั้งตรวจสอบความแม่นยำและความน่าเชื่อถือของสมการที่สร้างขึ้น

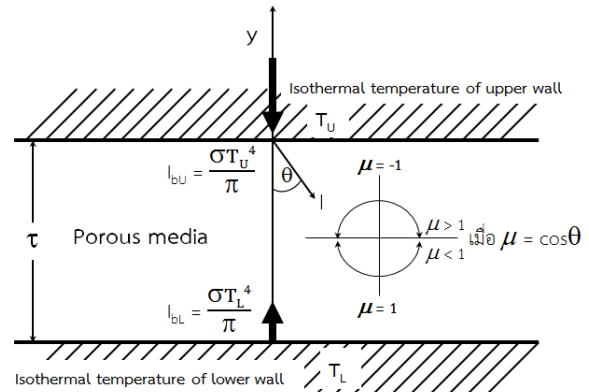
## 2. สมการควบคุมและแบบจำลองทางกายภาพ

รูปแบบทางกายภาพของแบบจำลองทางคณิตศาสตร์ ของการศึกษาพฤติกรรมกรรมการแผ่รังสีความร้อน โดยวัสดุพอร์นที่ได้รับความร้อนจากแหล่งความร้อนใด ๆ กำหนดให้วัสดุพอร์นถูกบรรจุอยู่ภายในช่องฉนวนกันความร้อน (Thermal insulation) ทำให้ด้านข้างทั้งสองด้านไม่มีการสูญเสียความร้อน ด้านล่างและด้านบนจะเป็นผนังความร้อน (Isothermal wall) ที่มีอุณหภูมิเป็น  $T_L$  และ  $T_U$  ตามลำดับ ดังแสดงในรูปที่ 1 จากรูปแบบทางกายภาพนี้สมมติฐานที่จำเป็นในการคำนวณมีรายละเอียดดังต่อไปนี้

- 1) การคำนวณเป็นแบบระนาบขนานหนึ่งมิติ (One-dimensional plane-parallel) และวัสดุเป็นแบบเทา (Gray medium) มีความหนา (Porous thickness) เท่ากับ  $L$
- 2) วัสดุพอร์นมีความเป็นเนื้อเดียว (Homogenous media) มีความสามารถในการดูดซับรังสีความร้อน (Absorbing radiation) และการกระจายรังสีความร้อน (Emitting radiation) แต่ไม่คิดการกระเจิงรังสีความร้อน (Non scattering radiation)
- 3) ภายในวัสดุพอร์นไม่คิดการแผ่รังสีความร้อนของสถานะแก๊ส (อากาศ) เนื่องจากมีค่าน้อยมาก เมื่อเทียบกับสถานะของแข็ง (เนื้อวัสดุพอร์น)
- 4) ขอบเขตด้านบนและด้านล่างเป็นแบบวัตถุดำ (Black body) โดยจะได้รับอุณหภูมิคงที่แบบ

ไอโซเทอร์มอล กล่าวคือด้านบนเป็น  $T_U$  (Isothermal temperature of upper wall) และด้านล่างเป็น  $T_L$  (Isothermal temperature of lower wall)

5) การถ่ายเทความร้อนในวัสดุพอร์นเป็นสภาวะคงที่ (Steady state)



รูปที่ 1 รูปแบบทางกายภาพของแบบจำลองทางคณิตศาสตร์

## 3. สมการการคำนวณ

สมการควบคุมหลัก (Governing equation) ที่ใช้แก้ปัญหาการแผ่รังสีความร้อนของวัสดุพอร์นที่ได้รับพลังงานความร้อนจากแหล่งความร้อนใด ๆ กระทำโดยพิจารณาให้วัสดุพอร์นมีความต่อเนื่อง (Continous) ดังนั้นจากสมมติฐานทั้ง 5) ในหัวข้อที่ 2 จะได้สมการควบคุมหลักการแผ่รังสีความร้อน (Radiative heat transfer, RTE) และเงื่อนไขขอบเขต (Boundary condition) คือ

$$\frac{\mu}{K} \frac{dI(y)}{dy} = \frac{\sigma T_s^4(y)}{\pi} - I(y) \quad (1)$$

$$\left. \begin{aligned} y = 0 : I_{bl}(0) &= \frac{\sigma T_L^4}{\pi} \\ y = L : I_{bu}(L) &= \frac{\sigma T_U^4}{\pi} \end{aligned} \right\} \quad (2)$$

เมื่อ  $K$  คือ สัมประสิทธิ์การดูดซับรังสีความร้อน (Absorption coefficient) และโดยทั่วไปการแก้ปัญหาการแผ่รังสีความร้อนจะนิยมกำหนดฟังก์ชันกับความหนาเชิงแสง (Optical thickness) [2] คือ  $d\tau = K dy$  ดังนั้นสมการที่ (1) จะเปลี่ยนเป็น

$$\mu \frac{dI(\tau)}{d\tau} = \frac{\sigma T_s^4(\tau)}{\pi} - I(\tau) \quad (3)$$

อินทิเกรต RTE หรือสมการ (3) ในช่วง  $\tau = 0$  ถึง  $\tau = \tau_L$  จะได้ผลลัพธ์คือ

$$I(\tau) = I^+(\tau) + I^-(\tau) \quad (4a)$$

$$I^+(\tau) = I(0)e^{-\frac{\tau}{\mu}} + \int_0^\tau \frac{1}{\mu} \left[ \frac{\sigma T_s^4(\tau^*)}{\pi} \right] e^{-\frac{(\tau-\tau^*)}{\mu}} d\tau^* \quad (4b)$$

$$I^-(\tau) = I(\tau_L)e^{-\frac{(\tau_L-\tau)}{\mu}} - \int_\tau^{\tau_L} \frac{1}{\mu} \left[ \frac{\sigma T_s^4(\tau^*)}{\pi} \right] e^{-\frac{(\tau-\tau^*)}{\mu}} d\tau^* \quad (4c)$$

การหาค่าฟลักซ์การแผ่รังสีความร้อนสุทธิ (Net radiative heat flux,  $q_n$ ) [1,2] ที่ใช้เป็นตัวเปรียบเทียบระหว่างฟังก์ชันเอ็กซ์โพเนนเชียล-อินทิกรัลกับสมการโพลีโนเมียลอันดับสองที่สร้างขึ้น สามารถคำนวณได้จาก

$$q_n(\tau) = 2\pi \int_{\mu=-1}^1 I(\tau, \mu) \mu d\mu \quad (5a)$$

$$q_n(\tau) = 2\pi \left[ \int_0^1 I^+(0, \mu) e^{-\tau/\mu} \mu d\mu + \int_0^\tau \int_{\mu_b}^{\mu_b} T(\tau^*, \mu) e^{-(\tau-\tau^*)/\mu} d\tau^* d\mu - 2\pi \left[ \int_0^1 I^-(\tau_0, -\mu) e^{-(\tau_0-\tau)/\mu} \mu d\mu + \int_0^\tau \int_{\mu_b}^{\mu_b} T(\tau^*, -\mu) e^{-(\tau^*-\tau)/\mu} d\tau^* d\mu \right] \right] \quad (5b)$$

จัดรูปสมการที่ (5b) ใหม่ โดยการแทนรูปแบบทั่วไปของฟังก์ชันเอ็กซ์โพเนนเชียล-อินทิกรัล (Exponential integrals equation,  $E_n$ ) ดังนี้

$$\left. \begin{aligned} E_n(x) &= \int_1^\infty e^{-xt} \frac{dt}{t^n} = \int_0^1 \mu^{n-2} e^{-\frac{x}{\mu}} d\mu \\ E_n(x) &= \int_x^\infty E_{n-1}(x) dx \end{aligned} \right\} (6)$$

เมื่อหาค่า  $E_2(\tau)$  และ  $E_3(\tau)$  จากสมการที่ (6) แล้วสมการของการคำนวณหาค่า  $q_n$  สามารถจัดรูปสมการใหม่ดังนี้

$$q_n(\tau) = 2\pi \left[ I^+(0)E_3(\tau) + \int_0^\tau \int_{\mu_b}^{\mu_b} T(\tau^*) E_2(\tau - \tau^*) d\tau^* \right]$$

$$-2\pi \left[ I^-(\tau_0)E_3(\tau_0 - \tau) + \int_\tau^{\tau_L} \int_{\mu_b}^{\mu_b} T(\tau^*) E_2(\tau^* - \tau) d\tau^* \right] \quad (7)$$

สมการโพลีโนเมียลอันดับสอง (The second-order polynomial equation) [9] ที่ถูกนำมาใช้เพื่อคำนวณหาค่า  $E_2(\tau)$  และ  $E_3(\tau)$  แทนฟังก์ชันเอ็กซ์โพเนนเชียล-อินทิกรัล โดยมีรูปแบบสมการคือ

$$E_n = a_0 + a_1x + a_2x^2 \quad (8)$$

เมื่อ  $a_0$ ,  $a_1$  และ  $a_2$  คือค่าคงที่ต้องการหา ซึ่งคำนวณได้โดยใช้ระเบียบวิธีคำนวณเชิงตัวเลขแบบ Secant method

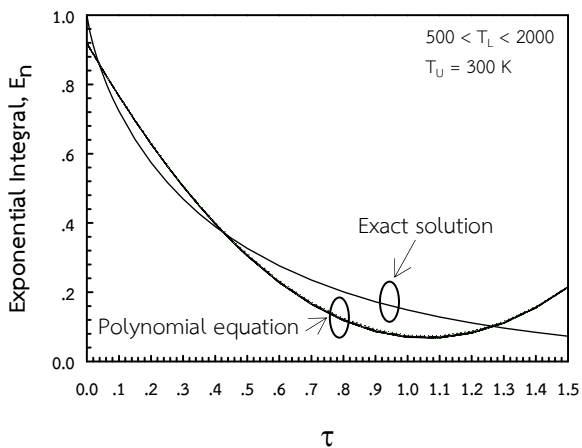
#### 4. วิธีการคำนวณ

จากสมการการคำนวณพร้อมทั้งเงื่อนไขขอบเขตจากหัวข้อที่ 3 ทำการเขียนโปรแกรม Fortran เพื่อหาผลเฉลยของค่าฟลักซ์การแผ่รังสีความร้อนสุทธิ ( $q_n$ ) โดยกำหนดค่าความหนาเชิงแสง ( $\tau$ ) อยู่ในช่วง  $0 < \tau < 1.5$  อุณหภูมิไอโซเทอร์มอลด้านบนเป็น  $T_U = 300$  K และด้านล่างเป็น  $T_L$  จะมีค่าตั้งแต่ 500 - 2000 K เริ่มต้นคำนวณหาค่าโครงสร้างทางอุณหภูมิภายในชั้นวัสดุพอรุนและคำนวณหาค่าความเข้มการแผ่รังสี (Intensities radiation,  $I$ ) ตามสมการที่ (4) หลังจากนั้นคำนวณหาค่าฟลักซ์การแผ่รังสีความร้อนสุทธิ ( $q_n$ ) ตามสมการที่ (7) โดยใช้ค่า  $E_n$  จากฟังก์ชันเอ็กซ์โพเนนเชียล-อินทิกรัล และนำ  $q_n$  ที่คำนวณได้ไปแทนในสมการที่ (7) แล้วใช้ระเบียบวิธีคำนวณเชิงตัวเลขแบบ Gauss elimination method เพื่อหาค่า  $E_n$  ที่ตำแหน่ง  $\tau$  ใด ๆ และในขั้นตอนสุดท้ายใช้ระเบียบวิธีคำนวณเชิงตัวเลขแบบ Secant method เพื่อหาค่าคงที่  $a_0$ ,  $a_1$  และ  $a_2$  ก็จะได้สมการโพลีโนเมียลอันดับสองในรูปแบบของสมการที่ (8) ทั้งหมด 16 สมการตาม  $T_L$  ที่เพิ่มขึ้น และเพื่อตรวจสอบความแม่นยำและการใช้งานได้จริงของสมการที่สร้างขึ้นค่าฟลักซ์การแผ่รังสีความร้อนสุทธิ ( $q_n$ ) จึงถูกทำนายโดยใช้ค่า  $E_n$  จากฟังก์ชันเอ็กซ์โพเนนเชียล-อินทิกรัลและสมการโพลีโนเมียลอันดับสองที่สร้างขึ้นจากงานวิจัยนี้

## 5. ผลการคำนวณและอภิปรายผล

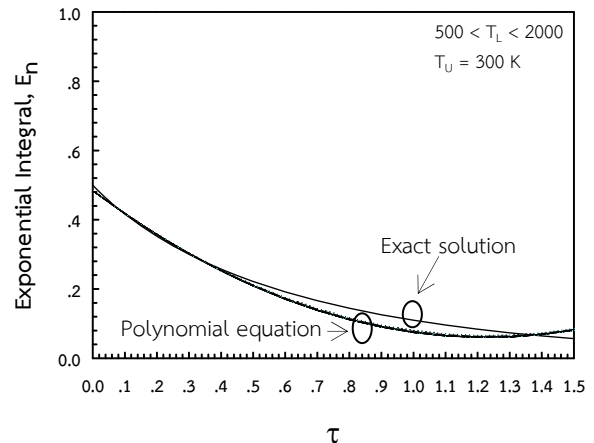
### 5.1 ค่า $E_2$ และ $E_3$

รูปที่ 2 แสดงการเปรียบเทียบค่า  $E_2$  ระหว่างฟังก์ชันเอ็กซ์โพเนนเชียล-อินทิกรัลกับสมการโพลีโนเมียลอันดับสอง โดยทำการเปรียบเทียบในช่วง  $0 < \tau < 1.5$  จะพบว่าค่า  $E_2$  เมื่อสร้างเป็นสมการโพลีโนเมียลอันดับสองทั้ง 16 สมการ จะมีแนวโน้มไปในทิศทางเดียวกันและมีค่าแตกต่างกันเล็กน้อยเมื่อเทียบกับ  $E_2$  ที่คำนวณได้จากฟังก์ชันเอ็กซ์โพเนนเชียล-อินทิกรัล เนื่องจากสมการโพลีโนเมียลอันดับสองเป็นสมการกำลังสอง ซึ่งจะมีความเป็นเส้นโค้งมากกว่า และหากพิจารณาค่าสัมประสิทธิ์การกำหนด (Determination coefficient,  $R^2$ ) ที่มีค่าสูงสุดจะพบในกรณี  $T_L = 500$  K ซึ่ง  $R^2$  จะมีค่าเท่ากับ 0.971230 และสมการที่ได้คือ  $E_2 = 0.918204 - 1.591471\tau + 0.749385\tau^2$



รูปที่ 2 การเปรียบเทียบค่า  $E_2$  ระหว่างฟังก์ชันเอ็กซ์โพเนนเชียล-อินทิกรัลกับสมการโพลีโนเมียลอันดับสอง

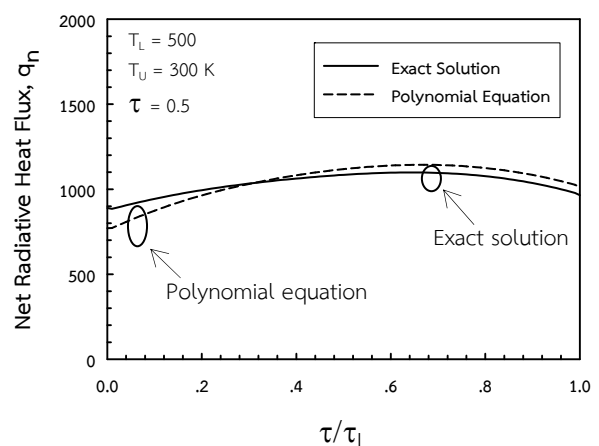
รูปที่ 3 แสดงการเปรียบเทียบค่า  $E_3$  ระหว่างฟังก์ชันเอ็กซ์โพเนนเชียล-อินทิกรัลกับสมการโพลีโนเมียลอันดับสอง โดยทำการเปรียบเทียบในกรณีเดียวกันกับค่า  $E_2$  จะพบว่าค่า  $E_3$  ที่ได้จากทั้งสองสมการจะมีค่าใกล้เคียงกันและที่  $T_L = 500$  K ค่าสัมประสิทธิ์การกำหนด ( $R^2$ ) จะมีค่าสูงสุดเท่ากับ 0.993184 สมการที่ได้คือ  $E_3 = 0.483645 - 0.678271\tau + 0.275252\tau^2$  ซึ่งจะเห็นว่าค่า  $R^2$  มีค่าใกล้เคียงกับ 1 ทั้งในกรณี  $E_2$  และ  $E_3$  ดังนั้นค่า  $E_n$  ของสมการโพลีโนเมียลอันดับสองที่คำนวณได้นั้น สามารถนำมาใช้ประโยชน์เพื่อทำนายกลไกการแผ่รังสีความร้อนได้



รูปที่ 3 การเปรียบเทียบค่า  $E_3$  ระหว่างฟังก์ชันเอ็กซ์โพเนนเชียล-อินทิกรัลกับสมการโพลีโนเมียลอันดับสอง

### 5.2 ค่าพลักซ์การแผ่รังสีความร้อนสุทธิ

เพื่อตรวจสอบความแม่นยำของสมการที่สร้างขึ้นรูปที่ 4 แสดงค่าพลักซ์การแผ่รังสีความร้อนสุทธิ (Net radiative heat flux,  $q_n$ ) ภายในชั้นวัสดุพอรุนที่คำนวณได้จากฟังก์ชันเอ็กซ์โพเนนเชียล-อินทิกรัลกับสมการโพลีโนเมียลอันดับสองที่สร้างขึ้น พบว่าค่า  $q_n$  ที่คำนวณได้จากทั้งสองสมการจะมีแนวโน้มไปในทิศทางเดียวกันตามความหนาของแผ่นวัสดุพอรุน และมีค่าใกล้เคียงกันทั้งสองกรณี แต่  $q_n$  ที่คำนวณได้จากสมการโพลีโนเมียลอันดับสองมีค่าสูงกว่า  $q_n$  ที่ได้จากฟังก์ชันเอ็กซ์โพเนนเชียล-อินทิกรัลเล็กน้อย ( $\tau/\tau_L > 0.3$ ) โดยมีค่าความคลาดเคลื่อนสูงสุดเท่ากับ 10 %



รูปที่ 4 แสดงการเปรียบเทียบค่าพลักซ์การแผ่รังสีความร้อนสุทธิ (Net radiative heat flux,  $q_n$ ) ระหว่างการใช้ฟังก์ชันเอ็กซ์โพเนนเชียล-อินทิกรัลกับสมการโพลีโนเมียล



## 6. สรุปผลการศึกษา

สมการโพลีโนเมียลอันดับสองที่ได้นำเสนอในงานวิจัยนี้ ซึ่งสร้างขึ้นจากฟังก์ชันเอ็กซ์โพเนนเชียล-อินทิกรัล ( $E_2$  และ  $E_3$ ) ในช่วง  $0 < \tau < 1.5$  ทั้ง 16 สมการ พบว่ามีความแตกต่างกันเล็กน้อย และค่า  $R^2$  สูงที่สุดจะพบในกรณี  $T_L = 500$  K กล่าวคือ  $E_2 = 0.918204 - 1.591471\tau + 0.749385\tau^2$  และ  $E_3 = 0.483645 - 0.678271\tau + 0.275252\tau^2$  สำหรับ  $E_2$  ( $R^2 = 0.971230$ ) และ  $E_3$  ( $R^2 = 0.993184$ ) ตามลำดับ ซึ่งมีค่าใกล้เคียงกับ 1 จึงถือว่าทั้งสองสมการมีความสอดคล้องกันเป็นอย่างดีและอยู่ในระดับที่น่าพอใจ โดยสมการ  $E_n$  ที่ได้จากสมการโพลีโนเมียลอันดับสองนั้นสามารถนำมาใช้ประโยชน์เพื่อทำนายกลไกการแผ่รังสีความร้อน เช่น ค่าการเกิดรังสีความร้อนและค่าฟลักซ์การแผ่รังสีความร้อนได้ และเมื่อใช้ในการหาผลเฉลยของค่าฟลักซ์การแผ่รังสีความร้อนสุทธิ ( $q_n$ ) พบว่าค่าที่คำนวณได้จากทั้งสองสมการจะมีแนวโน้มไปในทิศทางเดียวกันตามความหนาของแผ่นวัสดุพอรุน และมีค่าใกล้เคียงกันทั้งสองกรณี โดย  $q_n$  ที่คำนวณได้จากสมการโพลีโนเมียลอันดับสองจะมีค่าสูงกว่าฟังก์ชันเอ็กซ์โพเนนเชียล-อินทิกรัล และมีค่าความคลาดเคลื่อนสูงสุดเท่ากับ 10 %

## 7. กิตติกรรมประกาศ

คณะผู้เขียนบทความขอขอบพระคุณสาขาวิชาวิศวกรรมเครื่องกล มหาวิทยาลัยเทคโนโลยีราชมงคลอีสาน นครราชสีมา ที่ได้ให้การสนับสนุนสถานที่ในการศึกษาและปฏิบัติงานวิจัยในครั้งนี้ จนทำให้งานวิจัยนี้สำเร็จลุล่วงไปด้วยดี

## 8. เอกสารอ้างอิง

[1] Ozisik, M.N. (1990). *Radiative Transfer and Interactions with Conduction and Conduction*, McGraw-Hill, New York.

[2] Modest, M.F. (2003). *Radiative Heat Transfer*, 2<sup>nd</sup> edition, ISBN: 0-12-503163-7, Academic Press (Elsevier Science), California.

[3] Vafai, K. (2005). *Handbook of porous media*, 2<sup>nd</sup> edition, ISBN: 0-8247-8886-9, Taylor and Francis, New York.

[4] บัณฑิต กฤตาคม (2554). หัวพันไฟอุตสาหกรรมและการประยุกต์ใช้วัสดุพอรุนในหัวพันไฟ, *วารสารวิศวกรรมศาสตร์ มหาวิทยาลัยสยาม*, 12(1), หน้า 76 – 87

[5] Viskanta, R., Mruyama, S. and Aihara, T. (1990). Analysis of an active high-temperature thermal insulation system, *International Journal Heat and Fluid Flow*, vol. 11(3), pp. 196 - 203.

[6] Yoshida, H., Yun, J.H., and Echigo, R. (1990). Transient characteristics of combined conduction convection and radiation heat transfer in porous media, *Journal of Heat Mass Transfer*, Vol. 33(5), pp. 847 - 857.

[7] Kamiuto, K., Iwamoto, M. and Nagumo, Y. (1993). Combined conduction and correlated-radiation heat transfer in packed bed, *Journal of Thermophysics Heat Transfer*, vol. 7(3), pp. 496 – 501.

[8] Krittacom, B. and Kamiuto, K. (2007). Improvement of the  $P_1$  approximation in radiative transfer, *JP Journal of Heat and Mass Transfer*, vol. 1 (1), pp. 63 - 74.

[9] บัณฑิต กฤตาคม (2556). *ระเบียบวิธีคำนวณเชิงตัวเลขสำหรับงานวิศวกรรม*, สำนักพิมพ์ แผนกงานออกแบบและผลิตสื่อสิ่งพิมพ์ งานประชาสัมพันธ์ และเผยแพร่ มทร.อีสาน, นครราชสีมา